

## Energetický systém v ustáleném stavu

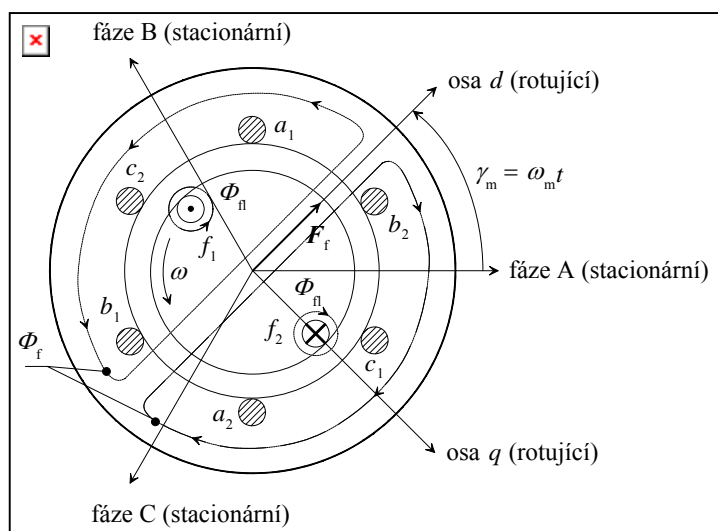
Jedním z charakteristických rysů energetického systému je potřeba spojitě přizpůsobovat jeho provozní podmínky tak, aby v každém okamžiku reagoval na stále se měnící zatížení. Velké systémy jsou charakterizovány tím, že ačkoli dílčí zátěž se může změnit velmi výrazně, celkový výkon distribuovaný sítí a odebíraný na mnoha místech se příliš nemění a jeho časový průběh lze do jisté míry předpovídat. To ale znamená, že v určité krátké časové periodě lze na stav systému pohlížet jako na stav ustálený a s časem tento kvazi-ustálený stav přechází plynule a pomalu do jiného kvazi-ustáleného stavu.

### Synchronní stroje

V případě synchronních strojů je nejdůležitější uvědomit si, jak magnetické pole rotoru interaguje s magnetickým polem statoru a jak se vytváří magnetický moment. Jakmile se podaří pochopit mechanismus vzniku momentu a elektromotorické síly v tomto stroji, lze již snadno posoudit jeho roli v elektrizační soustavě jakožto zdroje činného a jalového výkonu.

#### Stroj s hladkým rotorem

Stroj s hladkým rotorem ve stavu naprázdno je schématicky znázorněn na obr. 2.7. U každé fáze je pro jednoduchost vyjádřen jen jeden střední vodič. Začátek a konec budicího vinutí je označen symboly  $f_1$  a  $f_2$ . Začátek a konec vinutí fáze A je označen  $a_1$  a  $a_2$ . Podobně je tomu i u fází B a C. Rotor má rotující podélnou osu  $d$  (hlavní magnetická osa budicího vinutí) a příčnou osu  $q$ . Čárkované čáry vyznačují cesty, jimiž se uzavírá rotující magnetický tok (ten sestává z rozptylového toku  $\Phi_n$  a hlavního toku  $\Phi_f$ ). Konečně  $F_f$  označuje magnetomotorickou sílu vyvolanou budicím vinutím. Konečně úhel  $\gamma_m = \omega_m t$  označuje okamžitou pozici podélné rotorové osy  $d$  vůči referenční ose (zde fázi A), kde  $\omega_m$  je mechanická rychlost rotoru.



Obr. 2.7: Schéma synchronního stroje s hladkým rotorem ve stavu naprázdno

U dvojpólového stroje jedna mechanická otáčka odpovídá jedné periodě elektrických a magnetických veličin. Pokud má však generátor  $p$  pólů, pak jedna mechanická otáčka odpovídá  $p/2$  elektrickým periodám. Pro elektrický úhel  $\gamma_e$  tedy platí, že  $\gamma_e = \gamma_m \cdot p/2$  a pro úhlovou rychlost rotoru v elektrických radiánech  $\omega_e = \omega_m \cdot p/2$ .

Rovnice synchronního generátoru budou odvozeny pro dvojpólový stroj, pro nějž mohou

být vynechány indexy  $m$  a  $e$  u úhlu  $i$  u úhlové rychlosti (pro vyšší počet pólů je lze snadno upravit tak, že všechny úhly a rychlosti budou vyjádřeny v elektrických jednotkách). Současně budou zanedbány všechny případné vyšší harmonické magnetomotorické síly  $F_f$ .

### Synchronní stroj naprázdno

Rotující tok vybuzený proudem v rotorovém vinutí vytváří magnetomotorickou sílu, která je podle obvodu statoru rozložena přibližně sinusově. Její nejvyšší hodnota orientována ve směru osy  $d$  (viz obr. 2.7)  $F_f = N_f i_f$ , kde  $N_f$  je efektivní počet závitů rotorového vinutí na pól (je dán součinem skutečných závitů  $N_F$  rotorového vinutí a činitele vinutí rotoru). Tento počet je menší než skutečný počet závitů  $N_F$  v důsledku respektování skutečné geometrie vinutí a trapezoidálního průběhu rozložení magnetomotorické síly ve vzduchové mezeře. Magnetomotorická síla  $F_f$  vyvolává magnetický tok  $\Phi_f$  protékající magnetickým obvodem, jenž má velikost

$$\Phi_f = \frac{F_f}{R_m} = \frac{N_f \cdot i_f}{R_m}, \quad (2.19)$$

kde  $R_m$  je reluktance příslušné cesty. Vzhledem k tomu, že reluktance železa je zanedbatelná, je možno hodnotu  $R_m$  položit rovnou reluktanci vzduchové mezery. Magnetická indukce je po vnitřním obvodu statoru rozložena podobně jako magnetomotorická síla přibližně sinusově a její maximum je tam, kde je maximum magnetomotorické síly, tedy v ose  $d$ . Budicí tok vyvolává tok spřažený s každým ze statorových vinutí. Tok zabírající s vinutím každé fáze o  $N$  závitěch dosahuje svého maxima v okamžiku, kdy rotující osa  $d$  je totožná s její magnetickou osou. Lze tedy psát

$$\Psi_{fA}(t) = \Psi_{fa} \cdot \cos \omega t = N_\Phi \cdot \phi_f \cdot \cos \omega t = \frac{N_\Phi \cdot N_f \cdot i_f}{R_m} \cdot \cos \omega t = M \cdot i_f \cdot \cos \omega t, \quad (2.20)$$

kde  $M$  označuje amplitudu vzájemné indukčnosti mezi vinutím rotoru a statoru (obecně je funkcí sycení) a  $N_\Phi$  se opět určí jako součin počtu závitů  $N$  a součinitele vinutí statoru. Obdobně lze odvodit

$$\Psi_{fB}(t) = M \cdot i_f \cdot \cos\left(\omega t - \frac{2\pi}{3}\right), \quad \Psi_{fC}(t) = M \cdot i_f \cdot \cos\left(\omega t + \frac{2\pi}{3}\right). \quad (2.21)$$

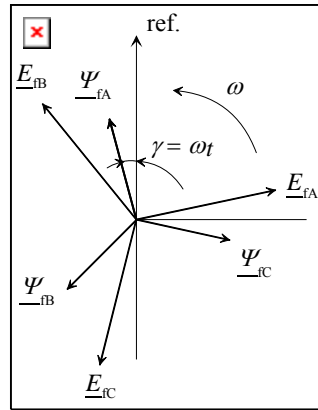
Uvedené toky indukují vnitřní napětí ve vinutí fáze A podle vztahu

$$e_{fA} = -\frac{d\Psi_{fA}(t)}{dt} = \omega \cdot M \cdot i_f \cdot \sin \omega t, \quad (2.22)$$

a podobně je tomu ve fázi B a C. Tato napětí se nazývají napětí naprázdno. Použijeme-li fázorové symboliky (předpokládáme, že se jedná o harmonické veličiny), lze psát

$$\underline{E}_{fA} = -j \cdot \omega \cdot \underline{\Psi}_{fA} \quad (2.23)$$

a podobně pro další fáze. Situace je znázorněna na obr. 2.8.



Obr. 2.8: Rotující fázory sprážených toků a indukovaných napětí

### Vliv reakce kotvy

Předpokládejme nyní, že statorovým vinutím protékají fázově posunuté proudy o stejné amplitudě  $I_m$  (zátěž je symetrická). Je tedy (viz obr. 2.7)

$$i_A = I_m \cdot \sin(\omega t - \lambda), \quad i_B = I_m \cdot \sin\left(\omega t - \lambda - \frac{2\pi}{3}\right), \quad i_C = I_m \cdot \sin\left(\omega t - \lambda + \frac{2\pi}{3}\right). \quad (2.24)$$

Tyto proudy vytvářejí pulsující magnetomotorické síly o velikostech

$$F_A = N_e \cdot i_A, \quad F_B = N_e \cdot i_B, \quad F_C = N_e \cdot i_C, \quad (2.25)$$

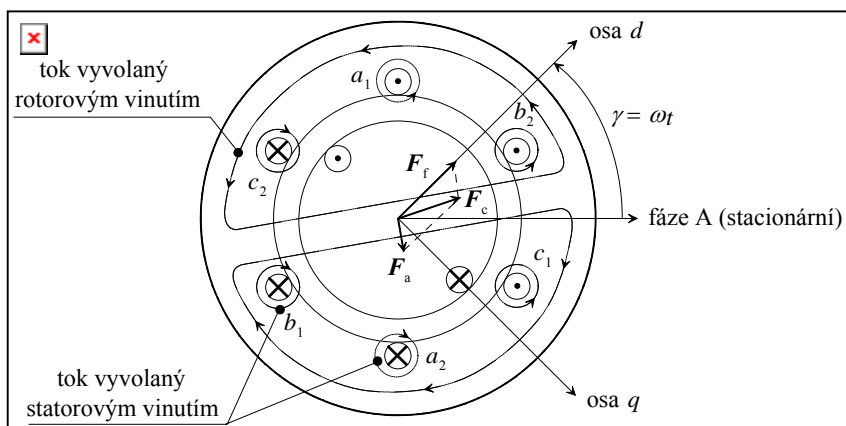
kde  $N_e = N_\Phi \cdot k_{ws}$  a  $k_{ws} = 4/(\pi p)$ . Všechny tři magnetomotorické síly jsou posunuty jak v prostoru, tak i v čase. Proto je s nimi výhodné zacházet jako s prostorovými fázory orientovanými ve směru os jednotlivých fází. Celková magnetomotorická síla  $\underline{F}_a$  vyvolaná proudy statoru se pak určí jako

$$\underline{F}_a = \underline{F}_A \cdot e^{j0} + \underline{F}_B \cdot e^{j\frac{2\pi}{3}} + \underline{F}_C \cdot e^{-j\frac{2\pi}{3}} = 1.5 N_e \cdot I_m \cdot e^{j(\omega t - \lambda)}. \quad (2.26)$$

Je zřejmé, že se jedná o rotující fázor, jehož modul je konstantní a jenž rotuje úhlovou rychlostí  $\omega$  při posunu  $\lambda$ . Dále je zřejmé, že fázory magnetomotorické síly rotoru  $\underline{F}_f$  a magnetomotorické síly statoru  $\underline{F}_a$  jsou vůči sobě ve stálé poloze. Přitom typicky platí, že  $\pi/2 < \gamma < \pi$ , kde  $\gamma$  vlastně označuje úhel mezi  $\underline{F}_a$  a  $\underline{F}_f$ . Výsledná magnetomotorická síla, jež dává tok  $\Phi_c$  ve vzduchové mezeři, je tedy popsána fázorem

$$\underline{F}_c = \underline{F}_f + \underline{F}_a, \quad (2.27)$$

viz obr. 2.9.



Obr. 2.9: Poměry v zatíženém synchronním stroji

Tok ve vzduchové mezeře má své maximum ve směru  $\underline{F}_c$ . Je vidět, že magnetomotorická síla kotvy  $\underline{F}_a$  demagnetuje generátor a výsledná magnetomotorická síla  $\underline{F}_c$  je menší, než magnetomotorická síla buzení  $\underline{F}_f$ .

Poněvadž obě magnetomotorické síly jsou podél vzduchové mezery rozloženy sinusově, je výsledná magnetomotorická síla  $\underline{F}_c$  mezi sousedními póly rovněž rozložena sinusově a právě tak magnetická indukce. Ve skutečnosti je však obvodová křivka magnetické indukce plošší vlivem sycení statoru a obsahuje tudíž zpravidla třetí harmonickou o určité velikosti. Pokud se ovšem vinutí statoru zapojí do trojúhelníka nebo do neuzemněné hvězdy, tato třetí harmonická zde vycirkuluje a na svorkách generátoru se neobjeví.

### Náhradní obvod a fázorový diagram

Z rovnice (2.27) a z obr. 2.9 plyne, že průmět fázoru magnetomotorické síly do fáze A má velikost

$$F_{cA}(t) = F_f \cdot \cos \omega t + F_a \cdot \cos(\omega t - \lambda) \quad (2.28)$$

a podobné vztahy bychom obdrželi pro  $F_{cB}$  a  $F_{cC}$ . Podobně, jako v případě vyšetřování poměrů při chodu naprázdno získáme magnetický tok sprážený s vinutím A statoru ve tvaru

$$\begin{aligned} \psi_{cA}(t) &= N_\Phi \cdot \frac{F_{cA}}{R_m} = \frac{N_\Phi}{R_m} (N_f \cdot i_f \cdot \cos \omega t + 1.5 N_e \cdot I_m \cdot \cos(\omega t - \lambda)) = \\ &= M \cdot i_f \cdot \cos \omega t + L_a \cdot I_m \cdot \cos(\omega t - \lambda), \end{aligned} \quad (2.29)$$

kde  $L_a = 1.5 \cdot N_\Phi \cdot N_e / R_m$  označuje indukčnost reakce kotvy. Elektromotorická síla na svorkách stroje je pak

$$e_{cA} = -\frac{d\psi_{cA}(t)}{dt} = \omega \cdot M \cdot i_f \cdot \sin \omega t + \omega \cdot L_a \cdot I_m \cdot \sin(\omega t - \lambda) = e_{fA} + e_{aA}, \quad (2.30)$$

kde  $e_{aA}$  je složka indukovaná v důsledku statorového toku, zpožděná za příslušným proudem o úhel  $\pi/2$ .

Uvažme nyní fázorový zápis příslušných rovnic při uvažování efektivních hodnot veličin. Vydeme z upraveného vztahu (2.29)

$$\underline{\psi}_{cA} = M \cdot \underline{i}_f + L_a \cdot \underline{I}, \quad (2.31)$$

a odtud (ve shodě s (2.30))

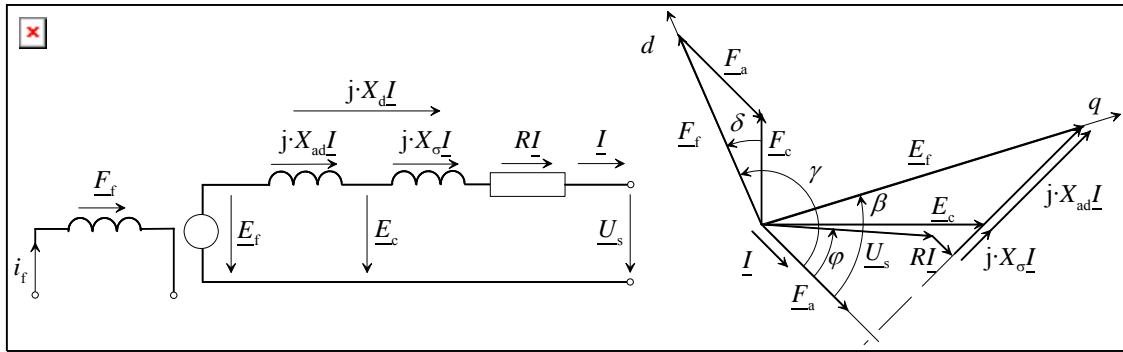
$$\underline{E}_{cA} = -\frac{d\underline{\psi}_{cA}}{dt} = -j \cdot \omega \cdot M \cdot \underline{i}_f - j \cdot \omega \cdot L_a \cdot \underline{I} = \underline{E}_{fA} - j \cdot X_{ad} \cdot \underline{I}, \quad (2.32)$$

kde  $X_{ad}$  je magnetizační reaktance.

Obr. 3.10 znázorňuje náhradní schéma a fázorový diagram synchronního stroje při zahrnutí různých elektrických a magnetických nedokonalostí synchronního stroje (tedy při zahrnutí resistance  $R$ , která však bývá velmi malá a často ji lze zanedbat a dále s respektováním rozptylového toku, jenž neprochází přes vzduchovou mezeru a lze jej vyjádřit rozptylovou reaktancí  $X_\sigma$ ). Rovnice (2.32) po příslušné úpravě má tvar

$$\underline{U}_s = \underline{E}_{fA} - R \cdot \underline{I} - j \cdot X_{ad} \cdot \underline{I} - j \cdot X_\sigma \cdot \underline{I} = \underline{E}_{fA} - R \cdot \underline{I} - j \cdot X_d \cdot \underline{I}, \quad (2.33)$$

kde  $\underline{U}_s$  je svorkové napětí stroje a veličina  $X_{ad} + X_\sigma$  se označuje  $X_d$  a nazývá synchronní reaktance. Konečně  $\varphi$  označuje úhel mezi proudem a napětím.



Obr. 2.10: Náhradní schéma a fázorový diagram synchronního stroje

Fázorový diagram se zpravidla konstruuje ze známého napětí na svorkách generátoru  $U_s$  a činného a jalového výkonu na fázi. Pak (reaktance a rezistance se předpokládají známé)

$$I = \frac{\sqrt{P^2 + Q^2}}{U_s}, \quad \varphi = \arctg \frac{Q}{P}. \quad (2.34)$$

### Tvorba momentu

Rotor synchronního generátoru je poháněn primárním zařízením (např. turbínou), které dodává moment  $M_m$ . Aby však byla rychlost rotoru konstantní, musí synchronní stroj vyvinout stejný moment opačného smyslu  $M_e$ . Tento moment lze určit z činného výkonu přenášeného přes vzduchovou mezeru, jehož velikost je

$$P_v = 3E_f \cdot I \cdot \cos \beta, \quad (2.35)$$

kde  $\cos \beta$  (viz obr. 2.10) se nazývá vnitřní účinnost stroje. Zanedbáme-li mechanické ztráty, musí být tento výkon roven mechanickému výkonu na hřídeli, tedy  $P_m = M_m \cdot \omega_m$ , kde  $\omega_m$  je mechanická úhlová rychlost. Mechanický moment se tedy musí rovnat

$$M_m = \frac{3E_f \cdot I \cdot \cos \beta}{\omega_m} = \frac{p}{2\omega} \cdot 3E_f \cdot I \cdot \cos \beta \quad (2.36)$$

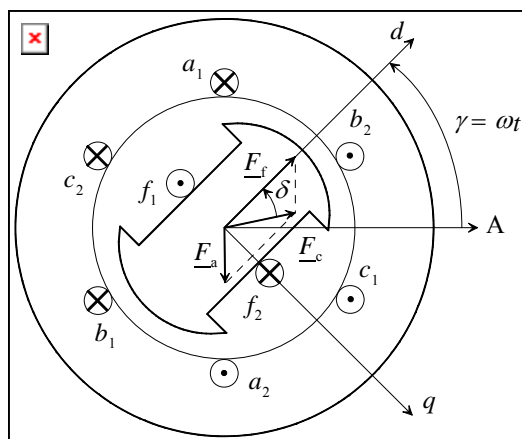
a dalšími úpravami vycházejícími z obr. 2.10 vychází

$$M_m = \frac{\pi P^2}{8} \cdot F_c \cdot \Phi_f \cdot \sin \delta, \quad (2.37)$$

kde úhlu  $\delta$  se říká momentový úhel. Je zřejmé, že předbíhá-li pole rotoru pole ve vzduchové mezeře a  $\delta > 0$  (obr. 2.10), pracuje stroj jako generátor. V opačném případě pracuje jako motor.

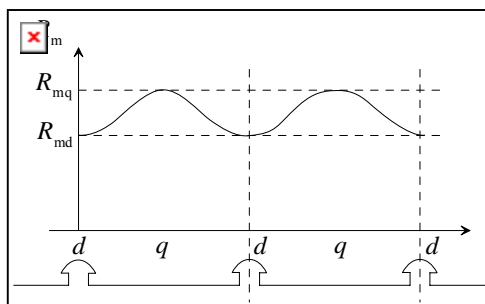
### Stroje s vyniklými póly

Jedná se zpravidla o pomaluběžné generátory o mnoha pólech, v nichž nepůsobí tak vysoké odstředivé síly. Pro jednoduchost však bude odvození potřebných vztahů provedeno pro dvojpólový stroj, jehož základní uspořádání plyne z obr. 2.11.



Obr. 2.11: Základní schéma dvojpólového stroje s vyniklými póly

Hlavním problémem modelování tohoto uspořádání je výrazně proměnná šířka vzduchové mezery. Nejužší je v ose  $d$ , nejširší v ose  $q$ . Proto se mění i její reluktance od minima  $R_{md}$  do maxima  $R_{mq}$ , jak je naznačeno na obr. 2.12.



Obr. 2.12: Změna reluktance podél vzduchové mezery

Proto zde, na rozdíl od stroje s hladkým rotorem, už neplatí, že poloha maxima magnetomotorické síly je stejná, jako poloha maxima magnetické indukce (což znamená, že příslušné veličiny nejsou ve fázi). Poněvadž magnetický tok se uzavírá cestou s co nejmenší reluktancí, bývá zde poloha maxima magnetické indukce posunuta k ose  $d$ . Poloha zmíněných maxim je proto stejná jen v případě, kdy výsledný vektor magnetomotorické síly spadá do osy  $d$  nebo  $q$ . Aby bylo možno tento problém překonat, navrhl Blondel teorii, jež pracuje odděleně s magnetickými veličinami v ose  $d$  a  $q$ . Fázor magnetomotorické síly statoru i statorového proudu se rozloží podle obr. 2.13.

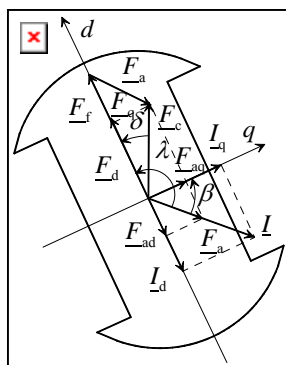


Fig. 2.13: K rozložení magnetomotorických sil do os  $d$  a  $q$

Výsledná magnetomotorická síla se zde určí jako  $\underline{F}_c = \underline{F}_d + \underline{F}_q$ , a dále  $\underline{F}_d = \underline{F}_f + \underline{F}_{ad}$ ,  $\underline{F}_q = \underline{F}_{aq}$ . Poněvadž buzení je prakticky vždy v ose  $d$ , závisí vnitřní indukovaná elektromotorická síla

$\underline{E}_f$  jen na reluktanci  $R_{md}$  v ose  $d$  a je pro daný budicí proud konstantní. Je-li fázor magnetomotorické síly a toku v ose  $d$ , je fázor elektromotorické síly  $\underline{E}_f$  posunut o úhel  $-\pi/2$  a leží tedy v ose  $q$ . Elektromotorická síla v důsledku existence  $\underline{F}_{ad}$  je úměrná  $\underline{I}_d$ , je rovněž zpožděna o úhel  $-\pi/2$ , leží také v ose  $q$  a platí pro ni vztah

$$\underline{E}_{ad} = -j \cdot X_{ad} \cdot \underline{I}_d, \quad (2.38)$$

kde  $X_{ad}$  je reaktance statoru v ose  $d$ , jež je nepřímo úměrná hodnotě  $R_{md}$ . Elektromotorická síla v důsledku existence  $\underline{F}_{aq}$  je úměrná  $\underline{I}_q$ , je rovněž zpožděna o úhel  $-\pi/2$ , leží v ose  $d$  a platí pro ni vztah

$$\underline{E}_{aq} = -j \cdot X_{aq} \cdot \underline{I}_q, \quad (2.39)$$

kde  $X_{aq}$  je reaktance statoru v ose  $q$ , jež je nepřímo úměrná hodnotě  $R_{mq}$ . Výsledná elektromotorická síla  $\underline{E}_c$  vzduchové mezery je pak

$$\underline{E}_c = \underline{E}_f + \underline{E}_{ad} + \underline{E}_{aq} = \underline{E}_f - j \cdot X_{ad} \cdot \underline{I}_d - j \cdot X_{aq} \cdot \underline{I}_q. \quad (2.40)$$

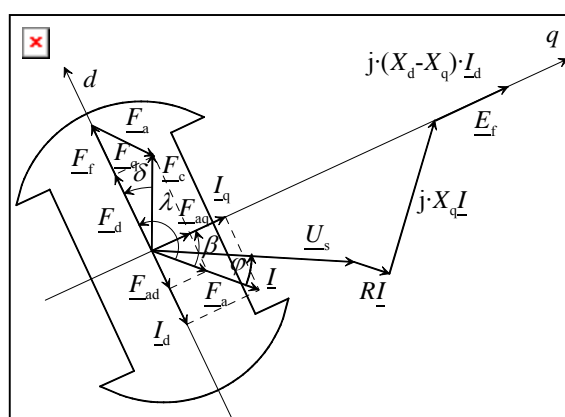
Chceme-li určit svorkové napětí  $\underline{U}_s$ , musíme ještě odečíst úbytek na rezistanci a rozptylové reaktanci

$$\underline{U}_s = \underline{E}_f - j \cdot X_{ad} \cdot \underline{I}_d - j \cdot X_{aq} \cdot \underline{I}_q - j \cdot X_\sigma \cdot \underline{I} - R \cdot \underline{I}, \quad \underline{I} = \underline{I}_d + \underline{I}_q \quad (2.41)$$

a po úpravě

$$\underline{U}_s = \underline{E}_f - j \cdot X_d \cdot \underline{I}_d - j \cdot X_q \cdot \underline{I}_q - R \cdot \underline{I}. \quad (2.42)$$

Veličina  $X_d = X_{ad} + X_\sigma$  se nazývá synchronní reaktance v ose  $d$  a  $X_q = X_{aq} + X_\sigma$  se nazývá synchronní reaktance v ose  $q$ . Vždy platí, že  $X_d > X_q$ .



Obr. 2.14: Úplný fázorový diagram synchronního stroje s vyniklými póly

Chceme-li sestavit úplný fázorový diagram včetně elektromotorických sil a napětí, vyjde-me z upravené rovnice (2.42)

$$\underline{E}_f = \underline{U}_s + (R + j \cdot X_q) \cdot \underline{I} + j \cdot (X_d - X_q) \cdot \underline{I}_d = \underline{E}_q + j \cdot (X_d - X_q) \cdot \underline{I}_d, \quad (2.43)$$

přičemž poslední člen je orientován do osy  $q$ . Poněvadž  $\underline{E}_f$  rovněž leží v ose  $q$ , musí i  $\underline{E}_q$  ležet v ose  $q$ . Při vytváření fázorového diagramu se samozřejmě začíná od fázorů  $\underline{U}_s$  a  $\underline{I}$ .

Sestrojíme-li osu  $q$ , osa  $d$  ji obvykle předbíhá. Tento úzus je založen na tom, že proud v  $d$ -ose má zpravidla demagnetizační účinky a v případě generátoru jej lze pokládat za záporný. Řada autorů však užívá konvence opačné.

### Moment stroje s vyniklými póly

Princip vzniku momentu je stejný jako v případě stroje s hladkým rotorem. Vztahy jsou zde však poněkud jiné v důsledku existence složek magnetomotorické síly v osách  $d$  a  $q$  (obr. 2.13), pro něž platí:

$$F_{ad} = F_a \cdot \cos \alpha, \quad F_{aq} = F_a \cdot \sin \alpha. \quad (2.44)$$

Složka magnetomotorické síly  $F_{aq}$  v ose  $q$  spolu s tokem  $\Phi_f$  vyvolaným budícím vinutím vyvolá složku momentu

$$M_q = \frac{\pi p^2}{8} \cdot F_{aq} \cdot \Phi_f, \quad (2.45)$$

neboť oba fázory jsou na sebe kolmé. Na druhé straně existuje v ose  $d$  složka toku  $\Phi_{ad}$  vyvolaná statorovým vinutím a ta rovněž zabírá s magnetomotorickou silou  $F_{aq}$ . Vzniká zde proto další složka momentu (jedná se o aditivní veličinu)

$$M_{qd} = \frac{\pi p^2}{8} \cdot F_{aq} \cdot \Phi_{ad}. \quad (2.46)$$

Konečně musíme uvažovat i složku magnetomotorické síly  $F_{ad}$  v ose  $d$ , jež vytváří moment v součinnosti se složkou statorového toku  $\Phi_{aq}$ . Zde je však v případě generátoru úhel mezi oběma veličinami roven  $-\pi/2$ , takže

$$M_{dq} = -\frac{\pi p^2}{8} \cdot F_{ad} \cdot \Phi_{aq}. \quad (2.47)$$

Výsledný moment má tedy velikost

$$M_m = M_q + M_{qd} - M_{dq} = \frac{\pi p^2}{8} \left[ (\Phi_f + \Phi_{ad}) \cdot F_{aq} - \Phi_{aq} \cdot F_{ad} \right]. \quad (2.48)$$

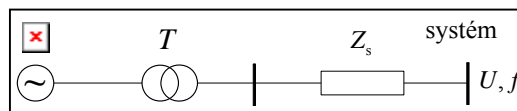
Převědeme-li (2.48) na výraz obsahující  $F_c$ ,  $\Phi_f$  a reluktance v obou osách, můžeme psát

$$M_m = \frac{\pi p^2}{8} \cdot \frac{R_d}{R_q} \cdot F_c \cdot \Phi_f \cdot \sin \delta + \frac{\pi p^2}{16} \cdot \frac{R_q - R_d}{R_q \cdot R_d} \cdot F_c^2 \cdot \sin 2\delta, \quad (2.49)$$

přičemž první výraz představuje tzv. synchronní moment a druhý výraz moment reluktanční, daný rozdílem reluktancí v osách  $d$  a  $q$  a tím, že magnetomotorická síla a tok ve vzduchové mezeře nejsou ve fázi. Tento druhý moment obecně existuje i při nulovém buzení.

### Zhrnutí ekvivalentní impedance sítě

Synchronní generátor málokdy napájí osamělou zátěž; zpravidla daleko častěji je připojen k rozsáhlejšímu energetickému systému sestávajícího z mnoha zdrojů, zátěží a přenosové sítě. Analýza chování vybraného generátoru v složité síti je ovšem komplikovaná. Jednodušší (a přesto dosti přesnou) představu o jeho chování lze získat tak, že skutečnou soustavu nahradíme zdrojem neomezeného výkonu, pracujícím do přípojnice charakterizované stálým napětím a kmitočtem. Tato přípojnice je beze změny parametrů schopna pojmout i činný a jalový výkon dodávaný vyšetřovaným generátorem, jenž do ní pracuje přes blokovaný transformátor  $T$  a určitou impedanci sítě  $Z_s$  podle obr. 2.15.



Obr. 2.15: Schéma generátoru pracujícího do soustavy neomezeného výkonu

Označíme-li nyní rezistanci transformátoru  $R_T$  a jeho reaktanci  $X_T$  a dále rezistanci soustavy  $R_s$  a její reaktanci  $X_s$ , a označíme-li

$$R_1 = R + R_T + R_s, \quad X_1 = X_d + X_T + X_s, \quad X_2 = X_q + X_T + X_s, \quad (2.50)$$

můžeme v souladu (2.42) psát

$$\underline{E}_f = \underline{U} + R_1 \cdot \underline{I} + j \cdot X_1 \cdot \underline{I}_d + j \cdot X_2 \cdot \underline{I}_q, \quad (2.51)$$

což po rozkladu do os  $d$  a  $q$  (fázor  $\underline{E}_f$  leží v ose  $q$ ) dává



$$\begin{aligned} E_d = 0 &= U_d + R_1 \cdot I_d + X_2 \cdot I_q, \\ E_q = E_f &= U_q + R_1 \cdot I_q - X_1 \cdot I_d, \end{aligned} \quad (2.52)$$

tuto rovnici lze zapsat i maticově. Přitom

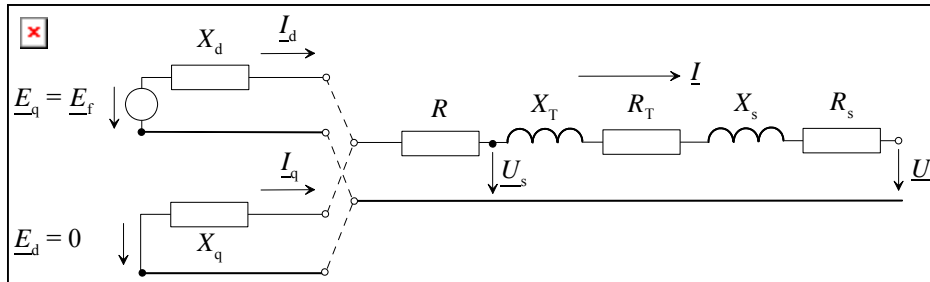
$$U_d = -U \cdot \sin \delta, \quad U_q = U \cdot \cos \delta, \quad I_d = -I \cdot \sin \beta, \quad I_q = I \cdot \cos \beta, \quad \beta = \delta + \varphi. \quad (2.53)$$

Z rovnic (2.52) lze snadno určit obě složky proudu  $I_d$  a  $I_q$  za předpokladu, že je známo  $E_q$ ,  $U_d$  a  $U_q$ .

Z rovnic (2.50) a (2.51) lze ještě snadno odvodit tvar náhradního obvodu stroje s vyniklými póly v soustavě podle obr. 2.15. Nejprve upravme (2.51) do tvaru

$$\underline{E}_q - j \cdot X_q \cdot \underline{I}_q + \underline{E}_d - j \cdot X_d \cdot \underline{I}_d = (R_1 + j \cdot (X_T + X_s)) \cdot \underline{I} + \underline{U} \quad (2.54)$$

(přičemž  $\underline{E}_d = 0$ ). Této rovnici zřejmě odpovídá schéma na obr. 2.16.



Obr. 2.16: Náhradní schéma generátoru s vyniklými póly

### Činný a jalový výkon dodávaný do soustavy

Činný výkon dodaný jednou fází generátoru do soustavy určíme pomocí napětí  $E_f$ , napětí soustavy  $U$  a úhlu  $\delta$  mezi nimi. Postupnými úpravami obdržíme

$$P = U \cdot I \cdot \cos \varphi = U \cdot I \cdot \cos(\beta - \delta) = U_q \cdot I_q + U_d \cdot I_d \quad (2.55)$$

a po dosazení za  $I_d$  a  $I_q$  z (2.52) a dalších jednoduchých úpravách bude

$$P = \frac{E_f \cdot U \cdot X_1}{Z^2} \cdot \sin \delta + \frac{U^2 \cdot (X_d - X_q)}{2Z^2} \cdot \sin 2\delta + \frac{E_f \cdot U \cdot R_1}{Z^2} \cdot \cos \delta - \frac{U^2 \cdot R_1}{Z^2}, \quad (2.56)$$

kde  $Z^2 = R_1^2 + X_1 \cdot X_2$ . Druhý člen v (2.56) označuje reluktanční výkon odpovídající reluktanční složce momentu v (2.49). Poněvadž hodnota  $X_d - X_q$  bývá o mnoho menší než  $Z^2$ , může být tento člen (zejména v případě generátorů připojených k síti dlouhým vedením) bez větší chyby zanedbán. Další zjednodušení lze získat zanedbáním činných odporů obsažených v  $R_1$ .

Jalový výkon dodávaný do sítě získáme postupnými úpravami vztahu

$$Q = U \cdot I \cdot \sin \varphi = U \cdot I \cdot \sin(\beta - \delta) = -U_q \cdot I_d + U_d \cdot I_q, \quad (2.57)$$

což po dosazení za  $I_d$  a  $I_q$  z (2.52) vede k výsledku

$$Q = \frac{E_f \cdot U \cdot (X_2 \cdot \cos \delta - R_1 \cdot \sin \delta)}{Z^2} - \frac{U^2 \cdot (X_1 \cdot \sin^2 \delta + X_2 \cdot \cos^2 \delta)}{Z^2}. \quad (2.58)$$

Výraz lze opět zjednodušit v případě stroje s hladkým rotorem či zanedbáním rezistance  $R_1$ .

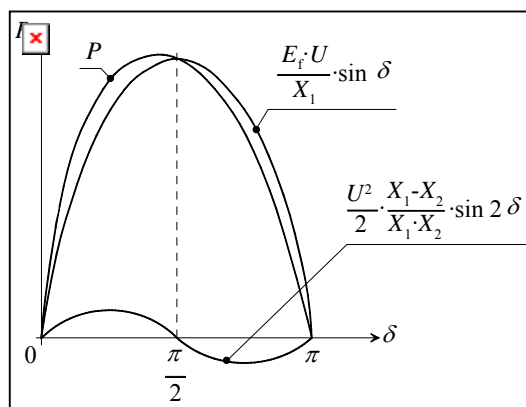
Jalový výkon dodávaný generátorem je kladný, je-li první člen větší než druhý. Toho lze dosáhnout tehdy, nabude-li vnitřní indukované napětí  $E_f$  dostatečně velké hodnoty. Pak hovoříme o přebuzení stroje. V opačném případě, kdy stroj ze soustavy jalový výkon odebírá, se hovoří o odbuzení. Poněvadž zátěž ve velké míře představují indukční motory, které samy jalový výkon odebírají, pracuje většina generátorů v přebuzeném stavu. Dostatečně velká hodnota  $E_f$  je však důležitá i z hlediska stability systému, jak bude vysvětleno později.

Fázorový diagram synchronního stroje se změní v každém okamžiku, kdy se změní zátěž. Způsob změny ovšem závisí na tom, zda se změní buzení stroje v důsledku akce vyvolané

automatickým regulátorem napětí či nikoli. Jestliže je tento regulátor v činnosti, snaží se udržet napětí na svorkách zdroje na určité požadované hodnotě změnou buzení. Pokud v činnosti není, zůstává buzení (a tedy  $E_f$ ) konstantní a změna zátěže vyvolá změnu svorkového napětí  $U_s$  a úhlu  $\delta$ . Napětí soustavy  $U$  však zůstane rovněž konstantní. Je-li zanedbatelná velikost rezistancí v obvodu, platí podle (2.56) rovnice

$$P = \frac{E_f \cdot U}{X_1} \cdot \sin \delta + \frac{U^2 \cdot (X_d - X_q)}{2X_1 \cdot X_2} \cdot \sin 2\delta. \quad (2.59)$$

Výkon dodávaný do soustavy je v takovém případě pouze funkcí úhlu  $\delta$ . Tato závislost plyne z obr. 2.17.

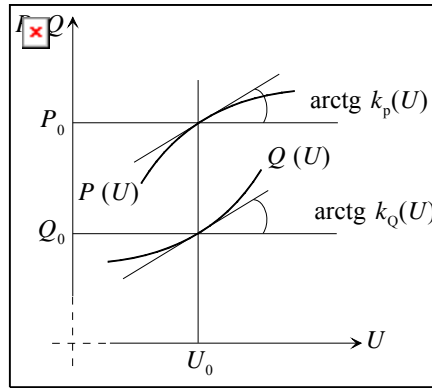


Obr. 2.17: Závislost  $P = P(\delta)$

### Vybrané typy zátěží

Zátěží budeme v tomto textu rozumět tu část systému, která není explicitně zahrnuta do jeho modelu, ale která představuje spotřebič energie. Situace ve většině energetických systémů je zpravidla taková, že jejich zdrojová a přenosová část sestává např. ze stovek až tisíců prvků, zatímco část spotřebitelská z desítek až set tisíců spotřebičů. Distribuční rozvody proto nelze modelovat v celé jejich rozmanitosti, ale příslušná část systému se modeluje pomocí ekvivalentních zátěží. Ekvivalentní zátěž samozřejmě nemusí modelovat pouze zátěž jako takovou, ale i rozvody na hladinách nízkých a středních napětí a dokonce i menší lokální zdroje. Modelování takové zátěže proto není nijak jednoduché a je proto i v současné době předmětem intenzivního výzkumu. V dalších odstavcích bude nyní věnována pozornost modelování statickému.

V ustáleném stavu jsou dány parametry zátěže napětím  $U$  a kmitočtem  $f$ . Závislosti  $P = P(U, f)$  a  $Q = Q(U, f)$  se nazývají statické charakteristiky zátěže. Závislosti  $P = P(U)$  a  $Q = Q(U)$  při konstantním kmitočtu se nazývají napěťové charakteristiky, závislosti  $P = P(f)$  a  $Q = Q(f)$  při konstantním napětí se nazývají kmitočtové charakteristiky. Sklon těchto charakteristik se nazývá napěťová nebo kmitočtová citlivost zátěže (obr. 2.18). Tyto citlivosti se zpravidla vyjadřují v poměrných hodnotách



Obr. 2.18: K definici napěťové citlivosti zátěže

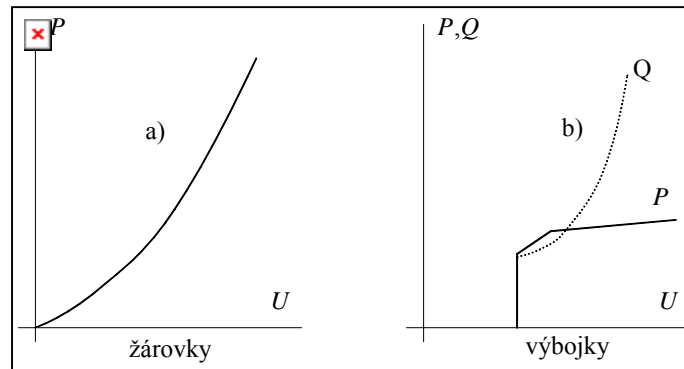
Tak například v pracovním bodě  $P_0$ ,  $U_0$  a  $f_0$  lze určit

$$k_{P_0}(U_0) = \frac{\Delta P}{P_0} \cdot \frac{U_0}{\Delta U}, \quad k_{P_0}(f_0) = \frac{\Delta P}{P_0} \cdot \frac{f_0}{\Delta f}. \quad (2.60)$$

Podobně lze určit příslušné koeficienty pro jalové výkony. V dalším se soustředíme na charakteristiky jednotlivých typů zátěží.

### Osvětlování a vytápění

Na pokrytí osvětlování a vytápění se spotřebovává asi 1/3 vyrobené elektrické energie. Tradiční žárovky vyžadují dodávku pouze činného výkonu, jenž je navíc nezávislý na kmitočtu (obr. 2.19a). Jejich impedance však závisí na teplotě a ta na přiloženém napětí. Výkon fluorescentních světelných zdrojů a výbojek silně závisí na napětí. Při 60–85 % jmenovitého napětí výboj uhasne a obnoví se asi po jedné až dvou vteřinách, kdy napětí opět překročí potřebnou zhášecí hodnotu. Nad touto hodnotou závisí činný a jalový výkon silně na napětí (obr. 2.19b).

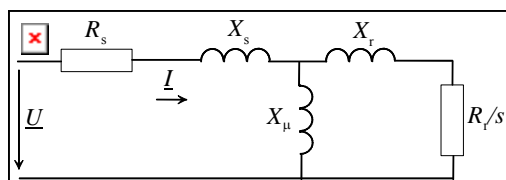


Obr. 2.19: Výkonové charakteristiky svítidel

Pokud se jedná o topidla, jejich rezistance se předpokládá konstantní. Jsou-li vybavena termostaty, ty zajistí stálou teplotu a výkon i při změně napětí. Takovou zátěž lze pak nejlépe modelovat konstantním odebíraným výkonem.

### Indukční motory

Až 2/3 elektrické energie se spotřebovává pro pohon motorů, z nichž 90 % je asynchronních. Základní náhradní schéma asynchronního motoru se všemi veličinami přepočtenými na stator je na obr. 2.20.



Obr. 2.20: Základní náhradní schéma indukčního motoru

Na obrázku  $R_s$  označuje rezistanci statoru,  $X_s$  jeho rozptylovou reaktanci,  $X_\mu$  magnetizační reaktanci,  $R_r$  přepočtenou rezistanci rotoru,  $X_r$  přepočtenou reaktanci rotoru a  $s$  skluz.

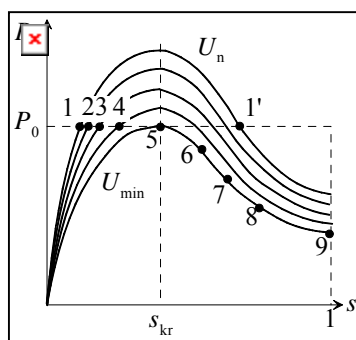
Poněvadž rezistance statoru  $R_s$  je malá a  $X_\mu \gg X_s$ , lze proud rotorem vyjádřit přibližným vztahem

$$I = \frac{U}{\sqrt{(X_r + X_s)^2 + \frac{R_r^2}{s^2}}} \quad (2.61)$$

a spotřebovaný činný výkon (elektrický) má pak velikost

$$P_e = \frac{R_r}{s} \cdot I^2 = \frac{U^2 \cdot R_r \cdot s}{(X_r + X_s)^2 \cdot s^2 + R_r^2} \quad (2.62)$$

Obr. 2.21 znázorňuje závislost  $P_e = P_e(s)$  pro různá napětí  $U$ .



Obr. 2.21: Závislost  $P = P(s)$  pro různá napětí  $U$

Z derivace (2.62) lze určit kritický skluz  $s_{kr}$ , při němž je tento výkon největší; tento skluz je roven  $R_r/(X_r + X_s)$ . Motor pracuje stabilně v levé části diagramu  $s < s_{kr}$ . Předpokládejme nejprve, že motor pracuje v pravé části diagramu v bodě 1', v němž se elektrický výkon  $P_e$  rovná mechanickému výkonu  $P_m$  daný hodnotou  $P_0$ . Při jakémkoli zvýšení rychlosti a poklesu skluzu se zvýší elektrický výkon  $P_e$ , zatímco mechanický zůstane přibližně stejný. Přebytek elektrického výkonu motor dále urychluje. Kdyby se naopak rychlost snížila a zvětšoval by se skluz, snižoval by se i elektrický výkon, skluz by narůstal, až by se motor při  $s = 1$  zastavil. Naopak, o bodu 1 v levé části charakteristiky stejnou úvahou zjistíme, že je stabilní.

Mechanickou zátěž lze rozdělit na zátěž s lehkým a těžkým rozběhem. Zátěž s lehkým rozběhem se vyznačuje tím, že záběrný moment je nulový, kdežto záběrný moment v případě těžkého rozběhu je nenulový. Uvažujme nejprve takovou zátěž, jejíž mechanický moment  $M_m$  je konstantní. Pak

$$P_m = M_m \cdot \omega = M_m \cdot \omega_s \cdot (1 - s) = P_0 \cdot (1 - s) \quad (2.63)$$

Dále musí elektrický výkon hradit ztráty na rezistanci  $R_r$  o velikosti  $R_r \cdot I^2$ . Po dosazení za proud z (2.61) a porovnáním s rovnicí (2.62) pro elektrický výkon dostáváme

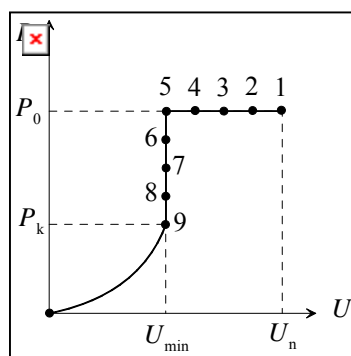
$$P_e = \frac{U^2 \cdot R_r \cdot s}{(X_r + X_s)^2 \cdot s^2 + R_r^2} = P_0 \cdot (1 - s) + \frac{U^2 \cdot R_r \cdot s^2}{(X_r + X_s)^2 \cdot s^2 + R_r^2} \quad (2.64)$$

odkud lze spočítat pracovní skluz (za předpokladu, že  $U \geq U_{\min} = \sqrt{2P_0 \cdot X}$ ). Pro takto vypočtený skluz lze navíc jednoduše ukázat, že první člen v rovnici (2.64) je roven  $P_0$  a třetí  $P_0 \cdot s$ . Přitom z (2.63) plyne, že velikost  $P_0$  není závislá ani na napětí, ani na kmitočtu.

Předpokládejme nyní, že motor pracuje s elektrickým výkonem  $P_e$  při jmenovitém napětí  $U_n$  v bodě 1 (obr. 2.21). Při poklesu napětí až do bodu 5 (pro napětí  $U_{\min}$ ) zůstává  $P_e$  nezměněn, ale skluz se zvětšuje až na kritickou hodnotu  $s_{kr}$ . Další snižování napětí vede k nárůstu skluzu při napětí  $U_{\min}$  až do bodu 9, v němž  $s = 1$ . Pak se motor dostane do chodu nakrátko, kde výkon  $P_e$  klesá podle vztahu (2.62), kde  $s = 1$ , takže

$$P_e = \frac{U^2 \cdot R_r}{(X_r + X_s)^2 + R_r^2}. \quad (2.65)$$

Výsledná charakteristika  $P_e = P_e(U)$  je znázorněna na obr. 2.22.



Obr. 2.22: Závislost činného elektrického výkonu indukčního motoru na napětí

Pokud se jedná o odebíraný jalový výkon, sestává ze dvou složek spotřebovávaných ve dvou paralelních větvích schématu na obr. 2.20.

$$Q_\mu = \frac{U^2}{X_\mu}, \quad Q_x = (X_r + X_s) \cdot I^2. \quad (2.66)$$

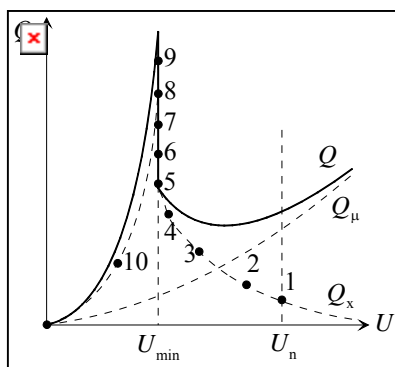
Druhý člen lze snadno převést na výraz

$$Q_x = \frac{U^2}{2(X_r + X_s)} - \sqrt{\left[ \frac{U^2}{2(X_r + X_s)} \right]^2 - P_0^2}. \quad (2.67)$$

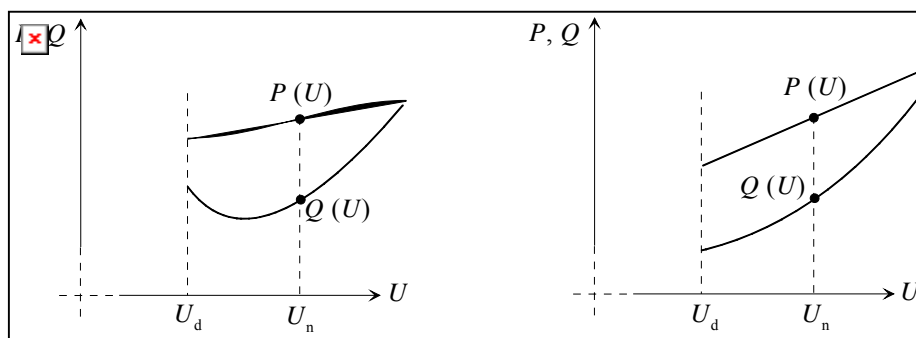
Výsledná charakteristika  $Q = Q_\mu + Q_x = Q(U)$  je zakreslena na obr. 2.23. Body 1 až 10 znovu odpovídají bodům na obr. 2.21. Hodnota minimálního napětí  $U_{\min}$ , při němž lze motor ještě provozovat, závisí do značné míry na typu zátěže. Pro motory s těžkým rozběhem s velkou zátěží bývá toto napětí jen o něco nižší než  $U_n$ , zatímco u zátěží s lehkým startem a málo zatížených bývá podstatně nižší.

Ve průmyslové praxi bývají motory chráněny napětíovou ochranou vypínající motor tehdy, jestliže jeho napětí poklesne pod povolenou míru  $U_d$ . Ta se pohybuje v rozmezí cca 30 až 70 % jmenovitého napětí. Tento jev lze modelovat tak, že odebíraný činný i jalový výkon jsou až do hodnoty rovny nule, jak je naznačeno v obr. 2.24.

Motor pracující při nižším napětí může být vypnut i nadproudovou ochranou (při poklesu napětí může vzrůst proud nad povolenou hodnotu), avšak toto vypnutí je charakterizováno určitou časovou konstantou.



Obr. 2.23: Závislost jalového výkonu indukčního motoru na napětí

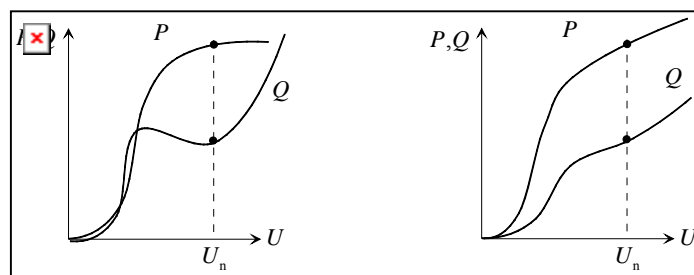


Obr. 2.24: Závislost činného a jalového výkonu indukčního motoru na napětí za přítomnosti napěťové ochrany (v levé části těžký rozběh, v pravé lehký rozběh)

Motory v průmyslových závodech jsou zpravidla dobře dimenzovány a pracují s plným výkonem a často s těžkým rozběhem. Těm odpovídá levá charakteristika na obr. 2.24. Na druhé straně, motory pracující v domácnostech a v neprůmyslové sféře bývají předimenzovány a pracují s 60 až 70 % jmenovitého výkonu. Jejich charakteristiky jsou pak blízké pravé části téhož obrázku.

### Statické charakteristiky zátěží

Celkové charakteristiky skupiny zátěží se získají superpozicí charakteristik jednotlivých zátěží (obr. 2.25).



Obr. 2.25: Typické výkonové charakteristiky skupiny zátěží (vlevo těžké rozběhy a výbojková svítidla v průmyslovém závodě, vpravo skupina lehkých zátěží a žárovkových svítidel v domácnostech)

V levé části jsou oba pracovní body na plošší části charakteristiky. Se snižujícím se napětím se činný výkon začíná zmenšovat, kdežto jalový výkon se nejprve příliš nemění, ale pak může růst v oblasti menších napětí, při nichž však ještě mohou motory pracovat. Poté, co napětí klesne pod asi 70 %  $U_n$  činný i jalový výkon výrazně poklesne v důsledku vypínání motorů. Podobně je tomu v pravé části, kde však vypínací napětí  $U_d$  leží nad minimálním povoleným napětím  $U_{min}$ , takže zde nedochází k nárůstu jalového výkonu.

Na závěr je třeba dodat, že uvedené charakteristiky se mohou lišit i podle toho, zda se na zátěž díváme z primární či sekundární strany napájecího transformátoru (z pohledu primární strany je třeba uvažovat i činné a jalové ztráty tohoto transformátoru). Sekundární strana distribučních transformátorů bývá navíc zpravidla vybavena odbočkami, které způsobují skokový nárůst či pokles činného a jalového výkonu se změnou napětí.

### Matematické modelování zátěže

Nejběžnější modely zátěže předpokládají:

- konstantní výkon,
- konstantní proud,
- konstantní impedanci.

V případě konstantního výkonu je citlivost činného i jalového výkonu na napětí nulová (vztahy (2.60)). Této koncepcí lze sice využít pro řešení ustálených stavů s malými změnami napětí, avšak v případě velkých změn napětí (např. během přechodných jevů) je nedostatečná. Koncepcí konstantního proudu poskytuje lineární vzrůst výkonu s napětím, přičemž příslušná citlivost je jednotková. Tato koncepcí je v zásadě vyhovující pro modelování odporové a indukční zátěže. Pokud zátěž modelujeme konstantní impedancí, mění se výkon s kvadrátem napětí a příslušná citlivost je rovna dvěma. Této koncepcí lze využít v určitých případech modelování osvětlení.

Ukazuje se, že výhodnější je zátěž modelovat s využitím všech tří koncepcí podle vztahů

$$\begin{aligned} P &= P_0 \cdot \left[ a_1 \cdot \left( \frac{U}{U_0} \right)^2 + a_2 \cdot \left( \frac{U}{U_0} \right) + a_3 \right], \\ Q &= Q_0 \cdot \left[ b_1 \cdot \left( \frac{U}{U_0} \right)^2 + b_2 \cdot \left( \frac{U}{U_0} \right) + b_3 \right], \end{aligned} \quad (2.68)$$

kde veličiny s indexem 0 označují výchozí stav.

Pokud o zátěži chybí informace, činný výkon se modeluje podle koncepcí konstantního proudu a jalový podle koncepcí konstantní impedance.

Existují i složitější modely, podle nichž se zátěž modeluje exponenciálně, podle vztahů

$$P = P_0 \cdot \left( \frac{U}{U_0} \right)^{n_p}, \quad Q = Q_0 \cdot \left( \frac{U}{U_0} \right)^{n_q}, \quad (2.70)$$

kde  $n_p$  a  $n_q$  jsou příslušné exponenty vhodné pro modelování uvažované zátěže. Žádný z těchto modelů však není schopen postihnout situaci, k níž dochází při poklesu napětí pod 70 %  $U_n$  a odepínání motorů. To lze ošetřit použitím polynomiální či exponenciální aproximace pro napětí blízká hodnotě  $U_n$  a modelu s konstantní impedancí pro napětí v oblasti 30 až 70 %  $U_n$ . Tvar těchto křivek plyne z obr. 2.26.

Závislost zmíněných modelů na kmitočtu lze modelovat funkcemi

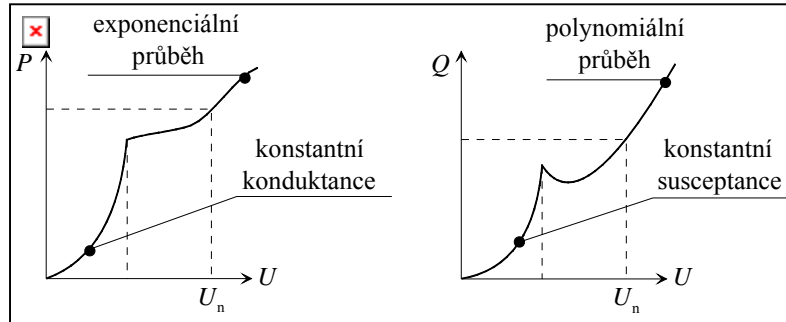
$$\begin{aligned} P(U, f) &= P(U) \cdot [1 + k_{pf} \cdot (f - f_0)], \\ Q(U, f) &= Q(U) \cdot [1 + k_{Qf} \cdot (f - f_0)], \end{aligned} \quad (2.71)$$

kde  $k_{pf}$  a  $k_{Qf}$  jsou příslušné citlivostní součinitele na kmitočet.

Velikostí součinitelů citlivosti činného a jalového výkonu na kmitočet se zabývala celá řada autorů a v současné době existují různá doporučení. Tak například IEEE uvádí hodnoty podle následující tabulky:

Tabulka součinitelů citlivosti činného a jalového výkonu:

zátěž	$\cos \varphi$	$k_{PU}$	$k_{QU}$	$k_{Pf}$	$k_{Qf}$
obytná zástavba	0.87–0.99	0.9–1.7	2.4–3.1	0.7–1.0	-1.3–-2.3
komerční sféra	0.85–0.9	0.5–0.8	2.4–2.5	1.2–1.7	-0.9–-1.6
průmyslová sféra	0.8–0.9	0.1–1.8	0.6–2.2	-0.3–2.9	0.6–1.8



Obr. 2.26: Přesnější náhrada výkon-napěťových charakteristik

### Základní síťové rovnice

Všechny typy sítí lze modelovat pomocí  $\Pi$  článků. Tyto modely tvoří základ pro modelování celé sítě pomocí rovnic pro jednotlivé uzly sítě. Soustavu rovnic lze obecně zapsat v maticovém tvaru

$$[\underline{I}] = [\underline{Y}] \cdot [\underline{U}], \text{ čili } \begin{bmatrix} \underline{I}_1 \\ \vdots \\ \underline{I}_i \\ \vdots \\ \underline{I}_N \end{bmatrix} = \begin{bmatrix} \underline{Y}_{11} & \cdots & \underline{Y}_{1i} & \cdots & \underline{Y}_{1N} \\ \vdots & \ddots & \vdots & \ddots & \vdots \\ \underline{Y}_{i1} & \cdots & \underline{Y}_{ii} & \cdots & \underline{Y}_{iN} \\ \vdots & \ddots & \vdots & \ddots & \vdots \\ \underline{Y}_{N1} & \cdots & \underline{Y}_{Ni} & \cdots & \underline{Y}_{NN} \end{bmatrix} \cdot \begin{bmatrix} \underline{U}_1 \\ \vdots \\ \underline{U}_i \\ \vdots \\ \underline{U}_N \end{bmatrix}, \quad (2.72)$$

kde  $\underline{U}_i$  udává fázor napětí v uzlu  $i$ ,  $\underline{I}_i$  udává fázor proudu vstupujícího do uzlu  $i$ ,  $\underline{Y}_{ij}$  ( $i \neq j$ ) záporně vzatou admitanci mezi uzly  $i$  a  $j$  a  $\underline{Y}_{ii}$  součet všech admitancí vycházejících z uzlu  $i$  (včetně případné admitance k zemi). Symbol  $N$  označuje počet všech uzlů. Matice  $[\underline{Y}]$  se nazývá uzlová admitanční matice. Součet všech prvků v libovolném řádku dává případnou admitanci příslušného uzlu k zemi. Pokud žádný uzel v soustavě není takto propojen, je matice singulární a její determinant je nulový. V opačném případě determinant existuje a soustava má řešení ve tvaru

$$[\underline{U}] = [\underline{Z}] \cdot [\underline{I}], \quad (2.73)$$

kde  $[\underline{Z}]$  se nazývá uzlová impedanční matice. Matice  $[\underline{Y}]$  je zpravidla řídká. Je-li v systému  $L$  větví, má matice  $N + 2L$  nenulových prvků (z toho  $N$  prvků v hlavní diagonále a po  $L$  prvcích v horní i dolní trojúhelníkové matici).

Nyní se musíme propracovat ke vztahu mezi výkony a napětími v jednotlivých uzlech. Pro kterýkoli uzel soustavy lze podle (2.72) psát

$$\underline{I}_i = \underline{Y}_{ii} \cdot \underline{U}_i + \sum_{\substack{j=1 \\ j \neq i}}^N \underline{Y}_{ij} \cdot \underline{U}_j, \quad (2.74)$$

a po rozepsání admitancí a uzlových napětí do tvaru

$$\underline{Y}_{ij} = Y_{ij} \cdot e^{j\theta_{ij}}, \quad \underline{U}_i = U_i \cdot e^{j\delta_i} \quad (2.75)$$

dostaneme pro výkon přivedený do  $i$ -tého uzlu vztah



$$\underline{S}_i = P_i + j \cdot Q_i = \underline{U}_i \cdot \underline{I}_i^* = U_i \cdot e^{j\delta_i} \left[ Y_{ii} \cdot U_i \cdot e^{-j(\delta_i + \theta_{ii})} + \sum_{\substack{j=1 \\ j \neq i}}^N Y_{ij} \cdot U_j \cdot e^{-j(\delta_j + \theta_{ij})} \right]. \quad (2.76)$$

Odtud již snadno vychází

$$\begin{aligned} P_i &= U_i^2 \cdot Y_{ii} \cdot \cos \theta_{ii} + U_i \cdot \sum_{\substack{j=1 \\ j \neq i}}^N Y_{ij} \cdot U_j \cdot \cos(\delta_i - \delta_j - \theta_{ij}), \\ Q_i &= -U_i^2 \cdot Y_{ii} \cdot \sin \theta_{ii} + U_i \cdot \sum_{\substack{j=1 \\ j \neq i}}^N Y_{ij} \cdot U_j \cdot \sin(\delta_i - \delta_j - \theta_{ij}). \end{aligned} \quad (2.77)$$

System rovnic (2.77) lze ovšem zapsat i pomocí složek napětí a admitancí do reálné a imaginární osy a často se rovněž užívá zápis, v němž napětí jsou vyjádřena pomocí (2.75) a admitance pomocí vztahu  $\underline{Y}_{ij} = \underline{G}_{ij} + j \cdot \underline{B}_{ij}$ . Cílem je v každém případě z daných výkonových poměrů v jednotlivých uzlech sítě určovat příslušná uzlová napětí nebo naopak.

Rovnice typu (2.77) jsou ovšem nelineární, což může při řešení působit jisté potíže. Jednou z možností je tyto rovnice linearizovat v okolí zvoleného pracovního bodu. Linearizace se provádí pomocí Taylorova rozvoje, v němž se uvažuje člen pouze prvního řádu. Rovnice pro změny veličin pak mají tvar

$$\begin{bmatrix} \Delta P \\ \Delta Q \end{bmatrix} = \begin{bmatrix} M & H \\ K & N \end{bmatrix} \cdot \begin{bmatrix} \Delta U \\ \Delta \delta \end{bmatrix}, \quad (2.78)$$

kde  $\Delta P$  je vektor přírůstků činných výkonů,  $\Delta Q$  přírůstků jalových výkonů,  $\Delta U$  přírůstků modulů napětí a  $\Delta \delta$  přírůstků úhlů. Prvky podmatic  $H$ ,  $M$ ,  $N$  a  $K$  jsou dány vztahy

$$M_{ij} = \frac{\partial P_i}{\partial U_j}, \quad H_{ij} = \frac{\partial P_i}{\partial \delta_j}, \quad K_{ij} = \frac{\partial Q_i}{\partial U_j}, \quad N_{ij} = \frac{\partial Q_i}{\partial \delta_j}. \quad (2.79)$$

Někdy je zapotřebí veličiny v komplexní rovině převést do os  $d$  a  $q$ , pro něž byly sestaveny generátorové rovnice. Je-li osa  $q$  generátoru posunuta vůči reálné ose komplexní roviny o úhel  $\delta$ , je libovolný vektor  $z_{ri}$  v komplexní rovině svázan s vektorem  $z_{dq}$  v osách  $d$  a  $q$  vztahem

$$z_{ri} = T \cdot z_{dq}, \quad T = \begin{bmatrix} -\sin \delta & \cos \delta \\ \cos \delta & \sin \delta \end{bmatrix}, \quad (2.80)$$

přičemž  $T = T^{-1}$  (matice je unitární). Na tomto místě je třeba si uvědomit, že každý generátor může vůči síti pracovat s jiným úhlem  $\delta$  a tedy s různě natočenými systémy os  $d$  a  $q$ .

### **Problémy ustáleného chodu**

Řešení rovnic (2.77) nebo (2.78) poskytuje informaci o stavu sítě při daných podmínkách odběru energie. Napětí a jejich fázové posuvy jsou stavové či nezávislé proměnné, s jejichž pomocí jsme schopni určit všechny ostatní systémové veličiny (toky činných a jalových výkonů, proudů, úbytky napětí, ztráty výkonu atd.). Na počátku analýzy musíme mít k dispozici všechna vstupní data pro sestavení admitanční matice. Výroba a zátěž bývá popsána velikostí dodávaných a odebíraných činných a jalových výkonů spíše než proudů. Generátorové uzly se specifikují jinak než uzly odběrové. Zatímco v případě uzlů odběrových lze predikovat činný i jalový výkon, v případě generátorových uzlů se využije jen rovnice pro činný výkon. Poněvadž na svorkách generátorů je známé napětí stačí určit jen jeho natočení. V případě jednoho z generátorů se pokládají za známé jak napětí, tak i jeho úhel (zpravidla nulový), aby soustava byla jednoznačně řešitelná, zatímco činný a jalový výkon se určuje. Někdy se tento generátor ze soustavy vylučuje. Rovnice (2.77) se zpravidla řeší Newton-Raphsonovou metodou.